

### III-310 ティートンダムの決壊に関する考察（第2報）

愛知工業大学 土木工学科 正 大根義男  
愛知工業大学 土木工学科 正 成田国朝

#### §1.はじめに

1976年6月に起ったティートンダム（アメリカ内務省開拓局）の決壊は、フィルダムの設計・施工に携わる技術者や研究者にとって非常に大きな打撃を与えた。決壊の原因については事故発生直後に2つの調査委員会（内務省調査委員会および政府の独立調査委員会）が組織され調査・研究が進められた。このうち政府の独立委員会は1976年12月に最終報告を提出し、崩壊原因として右岸基礎に設けられたキートレンチの深部におけるコア材料の内部浸食（パイピング）を結論している<sup>1)</sup>。

筆者らは、決壊の主たる原因是コア材料とアバットメントの形状にあるのではないかと考え、この趣旨で紙面内におけるそれらの発生やハイドローリック・フラクチャー（以後H.F.と書く）の可能性を数値解析に基づいて検討してきた<sup>2)</sup>。本文では主として後者の検討結果を報告するものである。

#### §2.ダム概況

ティートンダムの縦断面図と図-1に示す。堤高は河床から93m(+31mカットオフ)であり、両岸のアバットメントは1/1.5割勾配の斜面で形成されている。標高EL.5100ftより上部の地質は両岸とも節理や亀裂が発達して非常に悪く。このためこの部分に対しては図のA-A断面図に見られるような

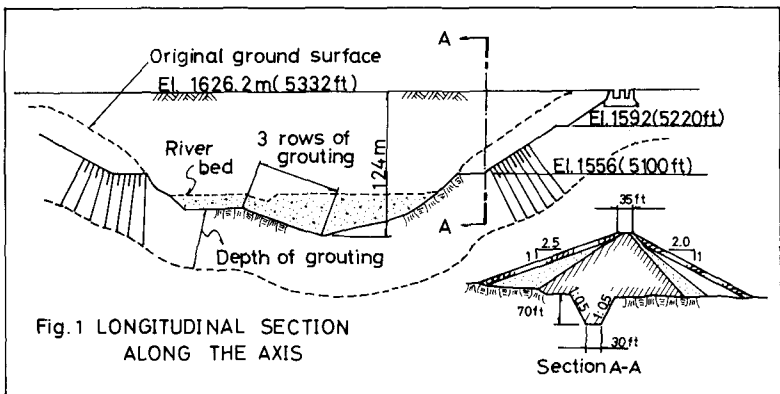


Fig. 1 LONGITUDINAL SECTION  
ALONG THE AXIS

コアトレンチが設けられた。コアトレンチの掘削により右岸のアバットメントには図に見られるよう2つのステップ部が残された。下段のステップは約28m幅、堤頂から約70m深、上段ステップは約18m幅、約34m深である。そしてステップ間は勾配1:1.5、下段の下は勾配1:1.0の急斜面にはっている。

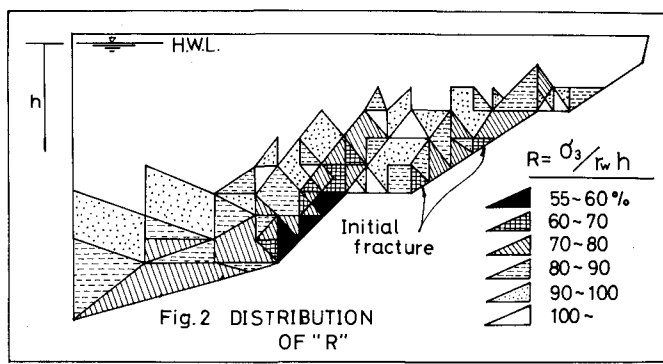
このような急傾斜の斜面や突角部あるいは勾配の急変点の付近では応力やヒズミの集中が激しいため、不等沈下およびそれに伴うそれらの発生や最大主応力の減少が考えられる。また深く陥りコアトレンチ内ではアーチ作用による鉛直工被り圧の低下が予想される。さらに浸食され易いコア材料をそれらの発達した岩盤に直接岩着させ、しかも下流側には土粒子の流失を防止するフィルターなどが配置されていない。これらの状況から本ダムの崩壊はH.F.による可能性が極めて高いと考えられ、以下この点に関して検討してみた。

#### §3. H.F.の検討

堤体が不等沈下により変形すると最大主応力 $\sigma_3$ が減少する。もし $\sigma_3$ が0または負（引張）の値をとれば、最大主応力 $\sigma_1$ が土の一軸圧縮強度より小さい部分で鉛直のきずが発生し貯水の浸入と土粒子の流動が起こる。時間の経過とともにこの現象が発展すれば集中的な漏水（パイピング）が起り堤体を破壊に至らしめる。これがH.F.である。実際問題としてH.F.は堤体内のある面に作用する $\sigma_3$ （全応力）が、その点に作用する水圧と比較して小さい場合に発生すると考えればよいが、これは必要条件であって十分条件ではない。すなわち、土粒子の流失を防止するフィルターやドレーンが配置されている場合や最大主応力が一軸圧縮強度に比べて極めて大き

い場合は、たとえ上記の条件が満されても浸食破壊は生じにくいものと思われる。

図-2はコア材料の三軸試験結果<sup>3)</sup>に基づいて図-1の右半断面を有限要素解析し結果である。段階載荷解析によって得られた盛土完了時の応力分布から各要素の $\bar{\sigma}_3$ とその点の貯水圧(漏水位から)  $P_w$ との比  $R = \sigma_3 / P_w h$  を計算し、図に定めに記号を用いて  $R$  の分布を描いて H.F. の可能性を調べるのである。



これによると  $R$  の分布は下段ステップ付近において最小となり、 $R = 50 \sim 70\%$  の領域が広範囲に見られる。また上段においても下段より幾分大きい  $R$  の集中領域が見られる。ただし下段より上部ではV型トレーンチ埋削の影響を受けアーチ作用が生じていると考えるべきである。アーチ作用については今回の計算で特別に考慮しなかったが、上記の計算結果と既往の研究成果を考え合わせると、H.F.については次のように説明することができる。

H.F. の発生条件は応力状態だけに着目すれば実用的に次式で表わすことができる。

$$\bar{\sigma}_3 \leq P_w, \quad \bar{\sigma}_1 = \frac{1}{K_0} \bar{\sigma}_3 \leq P_w \quad (1)$$

ここに  $P_w$  は貯水圧、 $K_0$  は静止土圧係数である。上記の  $\bar{\sigma}_1$ 、 $\bar{\sigma}_3$  はアーチング効果を含んだ主応力であり、これらと本計算(二次元解)で得られる主応力  $\sigma_1$ 、 $\sigma_3$  の間には、 $\alpha$ 、 $\beta$  をアーチング効果に関する係数として、

$$\bar{\sigma}_3 = \alpha \sigma_3, \quad \bar{\sigma}_1 = \beta \sigma_1 = \frac{\beta}{K_0} \sigma_3 \quad (2)$$

なる関係がある。種々のダムに対して行なった計算や埋設管に働く土圧の計算結果<sup>4)</sup>を吟味すると、ティートンダムのコアトレーンチではアーチ作用による土被り圧の低減が 30 ~ 50% と考えられる。すなわち  $\beta = 0.5 \sim 0.7$  となる。したがって下段(EI. 5100 ft)より上部のV型コアトレーンチに対して (1) 式のオ2項は、

$$\sigma_3 / P_w \leq \frac{1}{\beta} K_0 = (1.5 \sim 2.0) K_0 \quad (3)$$

となる。ここでコア材料の試験結果によると  $\phi' = 35^\circ$  であるから  $K_0 = 1 - \sin \phi' = 0.43$  となり、(3)式は、

$$\sigma_3 / P_w \leq 60 \sim 80 \% \quad (4)$$

一方、EI. 5100 ft より下部では基礎が比較的平坦なためアーチ作用の影響が小さく、同様の資料より土被り圧の低下は 15 ~ 20% と推定される。したがって発生条件は

$$\sigma_3 / P_w \leq 50 \% \quad (5)$$

前に述べたように  $\sigma_3$  が (1) 式のオ1項を満したからといって必ずしも H.F. が起こるとは限らない。しかし、 $\sigma_3$  が (4) 式あるいは (5) 式も同時に満すことにはれば、H.F. に対する危険性はかなり高いものとなる。併せ、これらの条件と図-2の  $R$  値の分布を対比することによって H.F. の過程が明らかになる。すなわち本ダムの場合最初の浸食が両ステップの間の斜面において発生し、これが上方向には下方に発達し崩壊につながったと考えられる。そしてこのことは Sta. 14+00 と Sta. 15+00 の間の下流側斜面(EI. 5200 ft)で最初の漏水が発見されたという現場の観察記録とも一致している。

#### 参考文献

- 1) Independent Panel to Review Cause of Teton Dam Failure (1976): "Failure of Teton Dam", December.
- 2) 成田国輔(1976): "フィルダムのきれい発生機構に関する研究", 東京工業大学学位請求論文
- 3) U.S.B.R. (1970): "Memorandums of Laboratory Test Results", Denver Laboratory, May 27.
- 4) 成田国輔(1975): "地中埋設管に関する有限要素解析", 埋設管に関するシンポジウム論文集, 工博学会